

# Adaptation optimisée des horaires des trains en présence de plages travaux

N. Dupin

# Sommaire

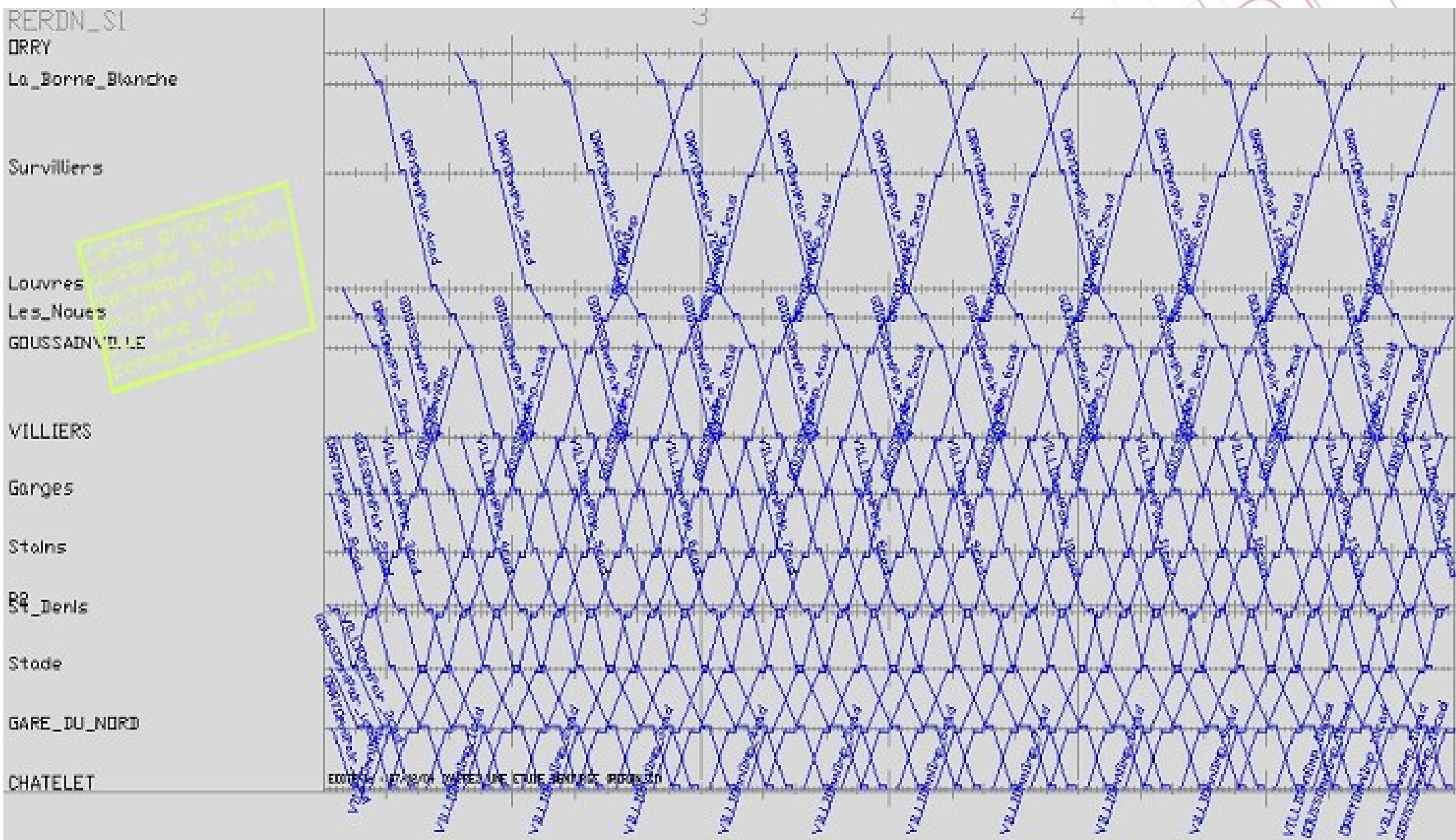
- Présentation du projet
- Description fonctionnelle
- Modélisations
- Implémentations et limites
- Prolongements

# Présentation du projet

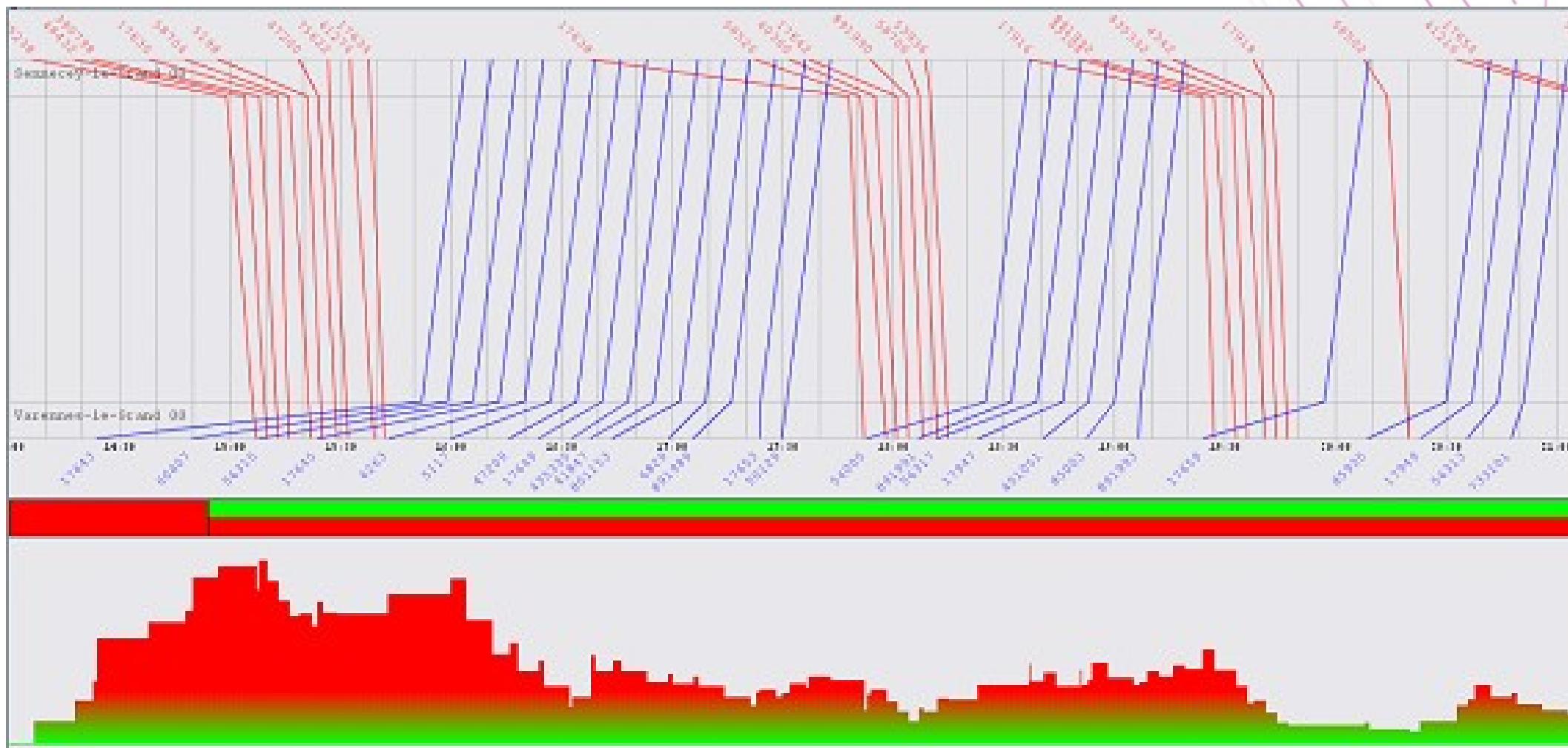
# Problématique travaux

- Suite à un audit de EPFL Lausanne préconisant une gestion optimisées des allocations des plages travaux.
- Objectif: adapter les horaires avec une perturbation minimale pour permettre la présence de blancs-travaux.
- Périodes d'indisposition des voies connues à l'avance, retraçage complet des sillons autorisés.
- Services intéressés: horairistes, CNO, INFRA

# Graphiques espace-temps



# SIOUCS



# Description fonctionnelle

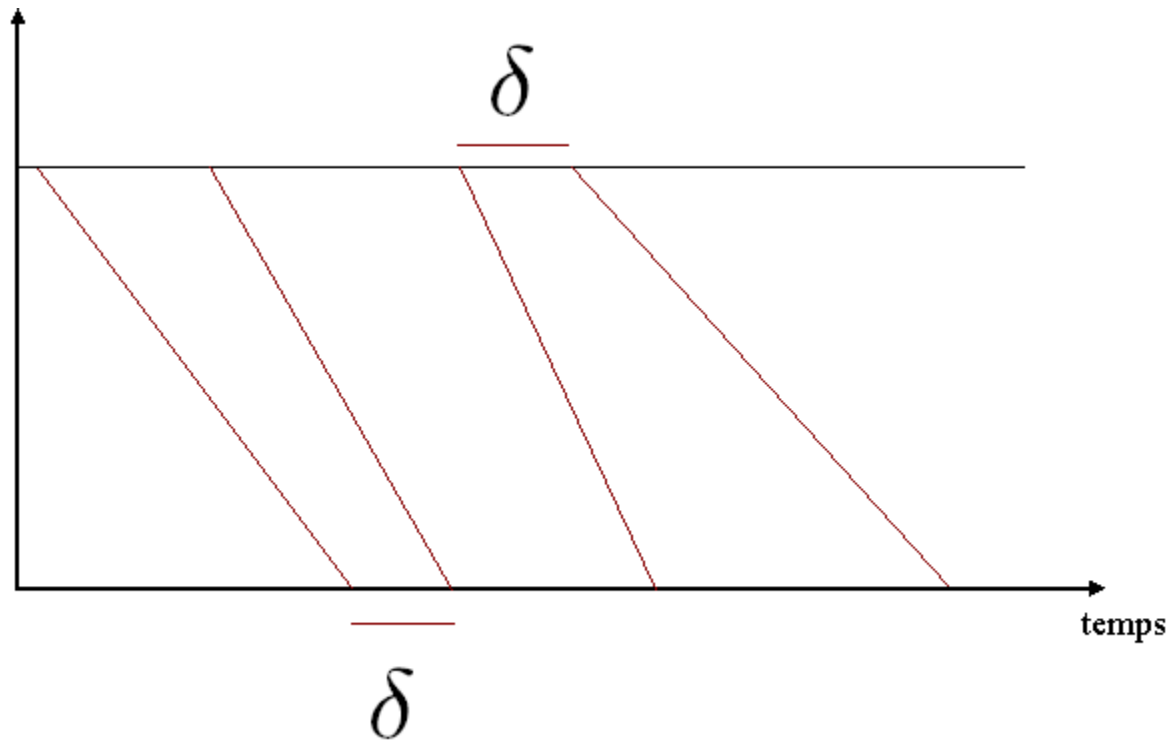


# Données du problème

- Fiches des trains circulant sur le tronçon dans la plage horaire
- Types de travaux, plage horaire des travaux
- Données de l'infrastructures
- Types d'algorithmes, suivant contraintes

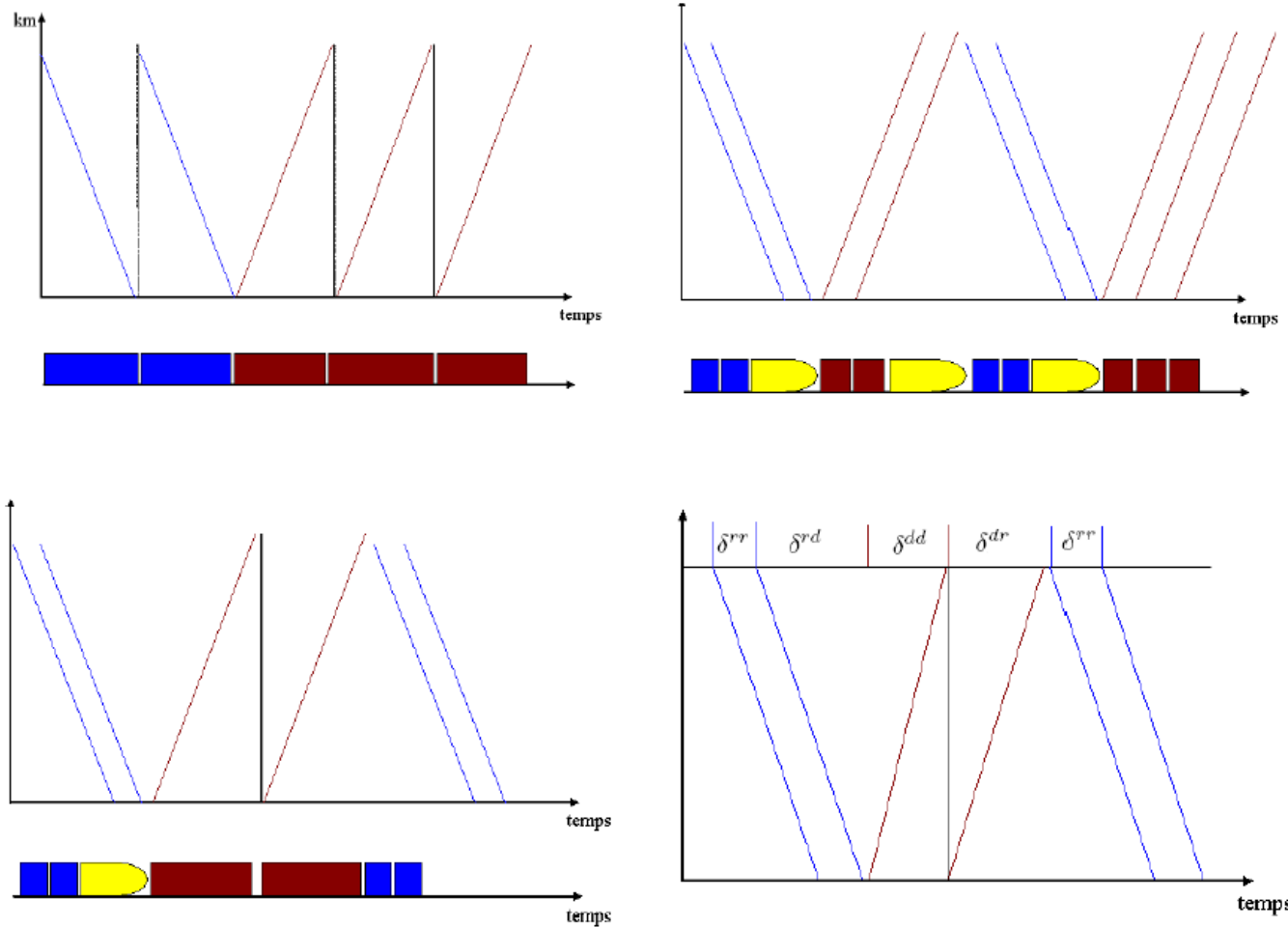


# Ecart de circulation



- On définit des écarts minimaux à respecter entre deux trains qui se suivent, donnée inhérente à l'infrastructure

# Circulation sur voie unique



# Fonctions de coût

- Fonction de pénalisation somme des pénalisations pour chaque train
- Fonctions de coût pour chaque train dépendant de l'écart par rapport à la programmation initiale: indépendance p/r autres horaires programmés.
- Coût d'annulation affecté à chaque train
- Ex: minimisation du retard global, minimisation du nombre d'annulation

# Interversions / ordre initial

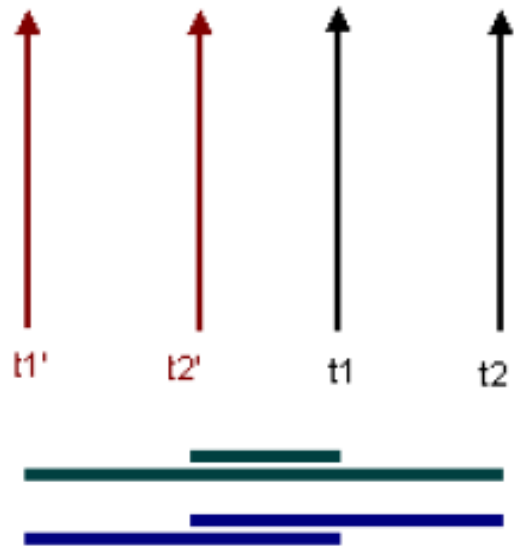


FIGURE 7.1 – Cas  $t_1' \leq t_2' \leq t_1 \leq t_2$  : cas d'égalité

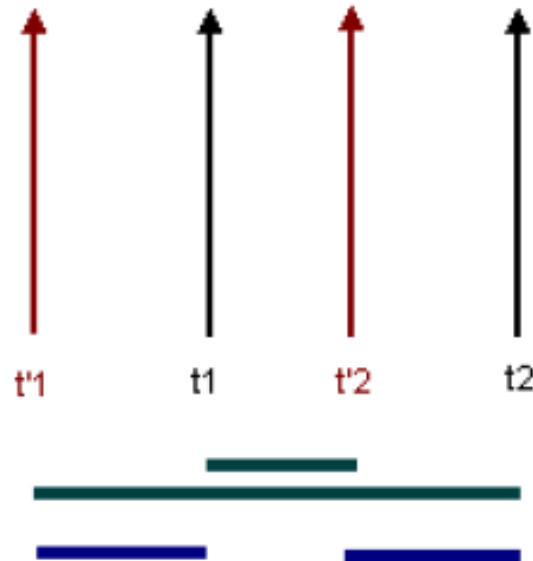


FIGURE 7.2 – Cas  $t_1' \leq t_1 \leq t_2' \leq t_2$  : cas d'inégalité stricte

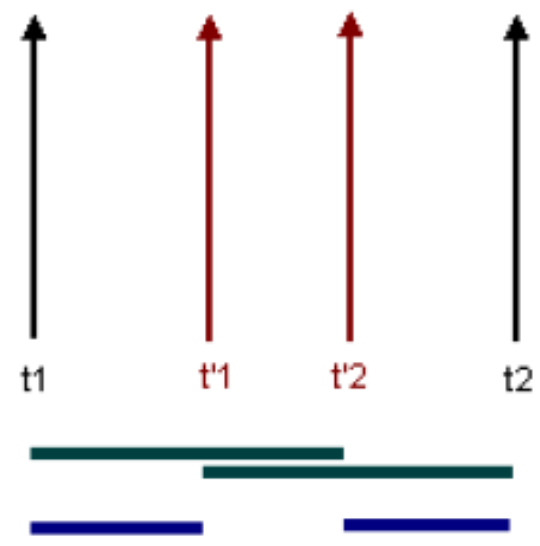
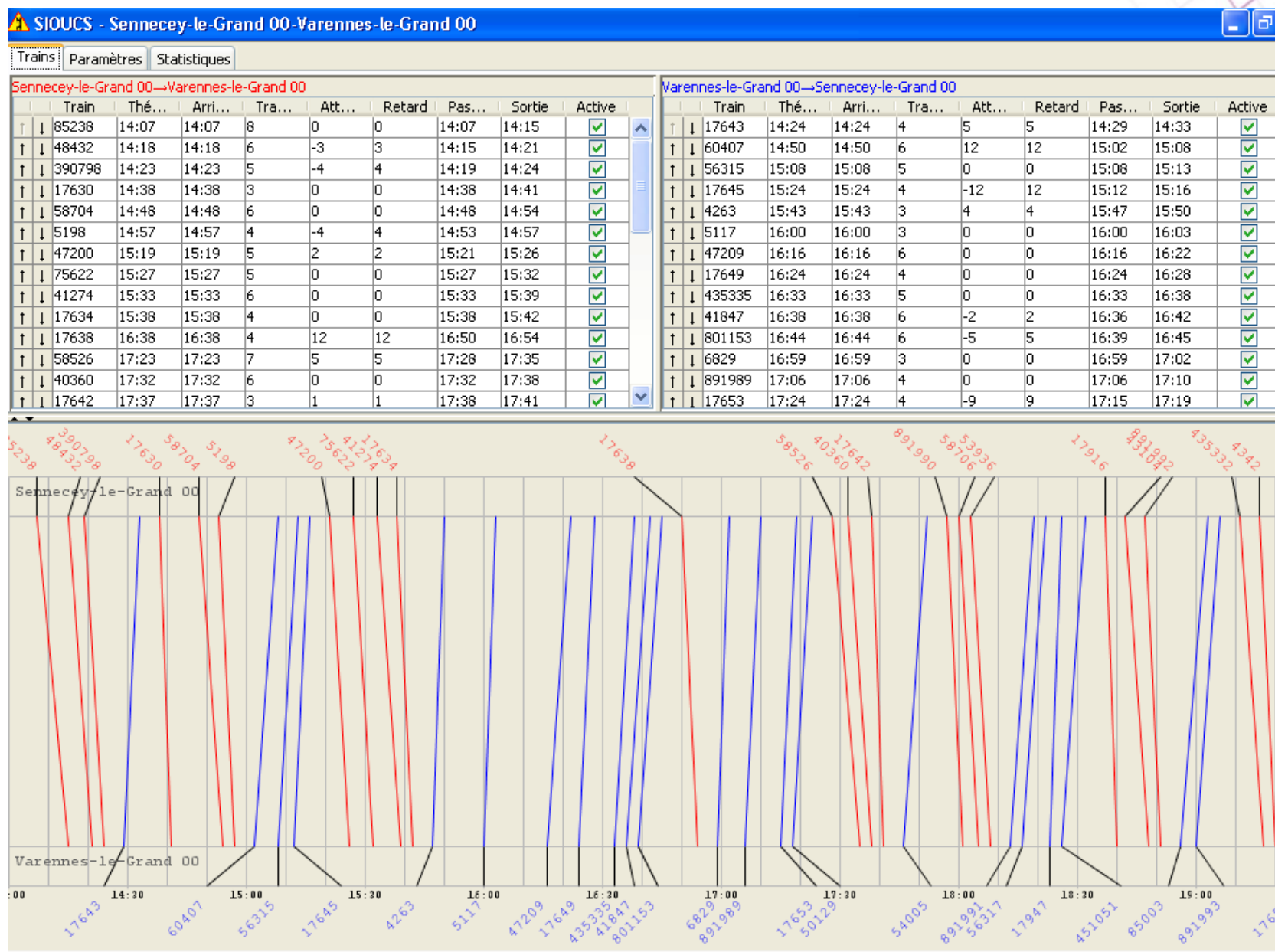


FIGURE 7.3 – Cas  $t_1 \leq t_1' \leq t_2' \leq t_2$  : cas d'inégalité stricte

- Il est optimal de chercher des solutions dans le même ordre que l'ordre initial dans la minimisation du retard global.

# Sorties



# Modélisation en programmation dynamique

# Sur une voie: Cas des vitesses égales

Variables de programmation dynamiques:

Coût minimal en faisant circuler les  $i$  premiers trains sur les  $t$  premiers instants.

$$M_{it}$$

- Horaires programmés dans le même ordre que la programmation initiale
- espace mémoire en  $NT$ , complexité temporelle en  $O(NT)$



# Equations de programmation dynamique

$$\forall i \in \llbracket 1, N \rrbracket, \quad M_{i0} = A$$

$$\forall j \in \llbracket 1, T \rrbracket, \quad M_{0t} = A$$

CAS 1 :  $T_i$  ne peut pas circuler à  $\tau_t$

$$M_{it} = \min \left\{ M_{i-1,t}, \quad M_{i,t-1} \right\}$$

CAS 2 :  $T_i$  peut circuler à  $\tau_t$

$$M_{it} = \min \left\{ M_{i-1,t}, \quad M_{i,t-1}, \quad M_{i-1,t-\delta \wedge 0} - a_i + c_{it} \right\}$$

# Sur une voie: Cas général

Variables de programmation dynamiques:

Coût minimal en faisant circuler les  $i$  premiers trains sur les  $t$  premiers instants, en faisant circuler le  $i$  ème train.

$$M_{it}$$

- Horaires programmés dans le même ordre que la programmation initiale
- espace mémoire en  $NT$ , complexité temporelle en  $O(N^2T)$

# Equations de programmation dynamique

$$\forall i \in \llbracket 1, N \rrbracket, \quad M_{i,1} = A + (c_{i,1} - a_i)$$

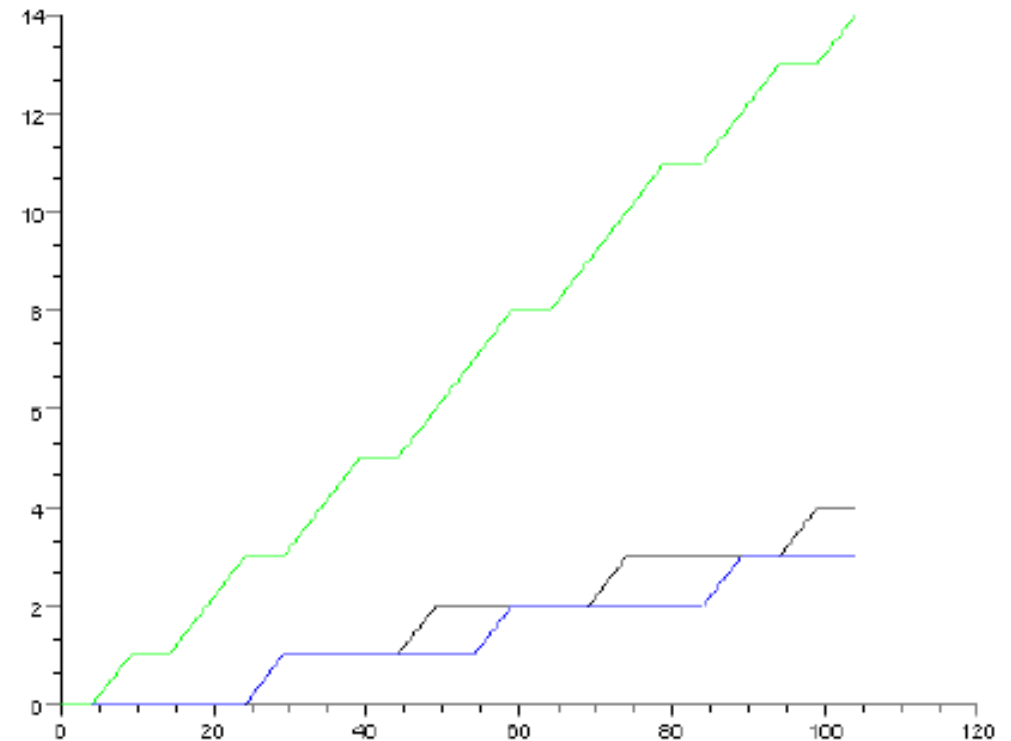
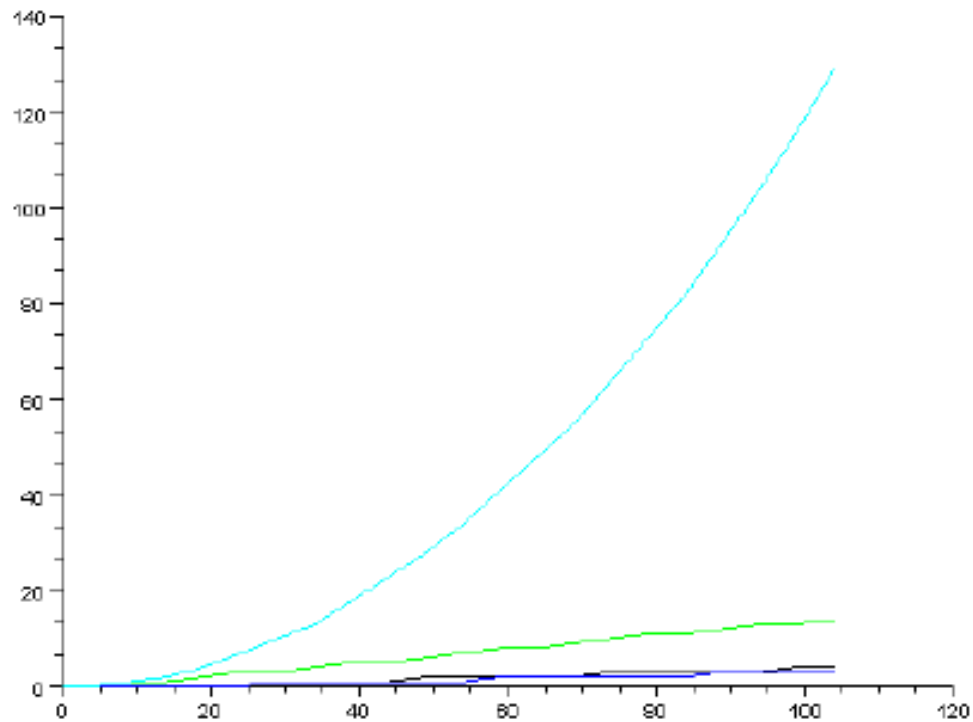
CAS 1 :  $T_i$  ne peut pas circuler à  $\tau_t$

$$M_{it} = M_{i,t-1}$$

CAS 2 :  $T_i$  peut circuler à  $\tau_t$

$$M_{it} = \min \left\{ M_{i,t-1}, \quad c_{i,t} - a_i + \min_{i' < i} M_{i',t-\delta_{i'i}} \right\}$$

# Comparaison des algorithmes: Temps de calcul



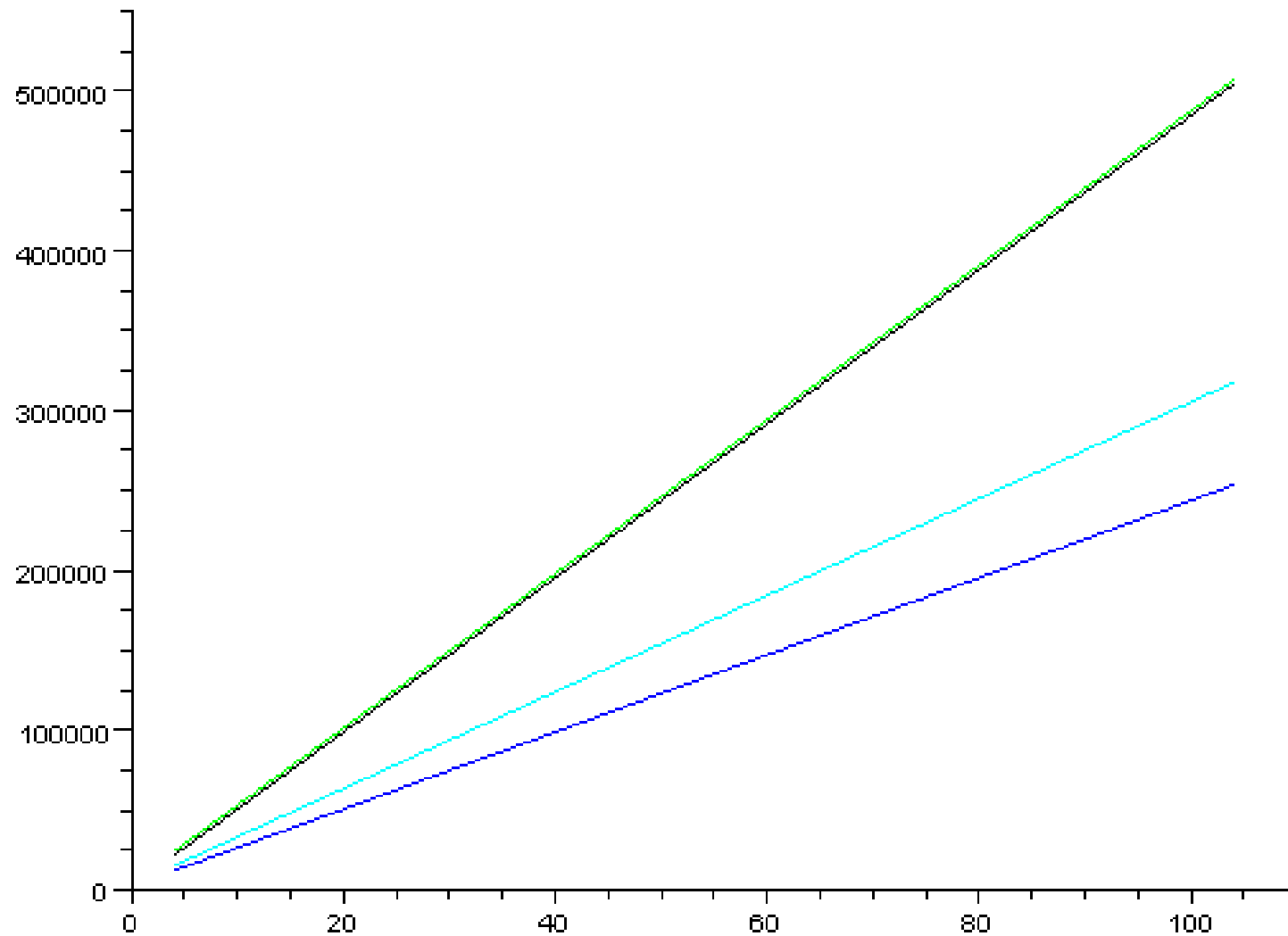
— Algo 1

— Algo 2

— Algo 3

— Algo 4

# Comparaison des algorithmes: Espace mémoire



# Voie unique: Cas des vitesses égales

Variables de programmation dynamiques:

Coût minimal en faisant circuler les  $i$  premiers trains directs et les  $j$  premiers trains retour, sur les  $t$  premiers instants, sachant que le dernier train circulait dans le sens  $s$

$$M_{i,j,t}^s$$

- Horaires programmés dans le même ordre que la programmation initiale
- espace mémoire en  $NN'T$ , complexité temporelle en  $O(NN'T)$

# Equations de programmation dynamique

$$\forall i \in [1, N], \forall t \in [1, T], \quad M_{i0t}^r = A$$

$$\forall t \in [1, T], \forall j \in [1, N'], \quad M_{0jt}^d = A$$

$$\forall s \in \{d, r\}, \forall i \in [1, N], \forall j \in [1, N'], \quad M_{ij0}^s = A$$

$$M_{i0t}^d = \min \left\{ M_{i-1,0,t}^d, \quad M_{i,0,t-1}^d, \quad M_{i-1,0,0 \wedge t - \delta^{dd}}^d - a_i + c_{it} \right\}$$

$$M_{0it}^r = \min \left\{ M_{0,i-1,t}^r, \quad M_{0,i,t-1}^r, \quad M_{0,i-1,0 \wedge t - \delta^{rr}}^r - a'_i + c'_{it} \right\}$$

$$M_{ijt}^d = \min \left\{ M_{i-1,j,t}^d, \quad M_{i,j-1,t}^d, \quad M_{i,j,t-1}^d, \quad M_{i-1,j,0 \wedge t - \delta^{dd}}^d - a_i + c_{it}, \quad M_{i-1,j,0 \wedge t - \delta^{rd}}^r - a_i + c_{it} \right\}$$

$$M_{ijt}^r = \min \left\{ M_{i-1,j,t}^r, \quad M_{i,j-1,t}^r, \quad M_{i,j,t-1}^r, \quad M_{i,j-1,0 \wedge t - \delta^{dr}}^d - a'_j + c'_{jt}, \quad M_{i,j-1,0 \wedge t - \delta^{rr}}^r - a'_j + c'_{jt} \right\}$$



# Voie unique: Cas général sur les vitesses

Variables de programmation dynamiques:

Coût minimal en faisant circuler les  $i$  premiers trains directs et les  $j$  premiers trains retour, sur les  $t$  premiers instants, sachant que le dernier train circulait dans le sens  $s$ , et c'était  $i$  ou  $j$ .

$$M_{i,j,t}^s$$

- Horaires programmés dans le même ordre que la programmation initiale
- espace mémoire en  $NN'T$ , complexité temporelle en  $(N+N')NN'T$

# Equations de programmation dynamique

$$\forall i \in \llbracket 1, N \rrbracket, \forall j \in \llbracket 1, N' \rrbracket, M_{i,j,1}^d = A + (c_{i,1} - a_i)$$

$$\forall i \in \llbracket 1, N \rrbracket, \forall j \in \llbracket 1, N' \rrbracket, M_{i,j,1}^r = A + (c'_{j,1} - a'_j)$$

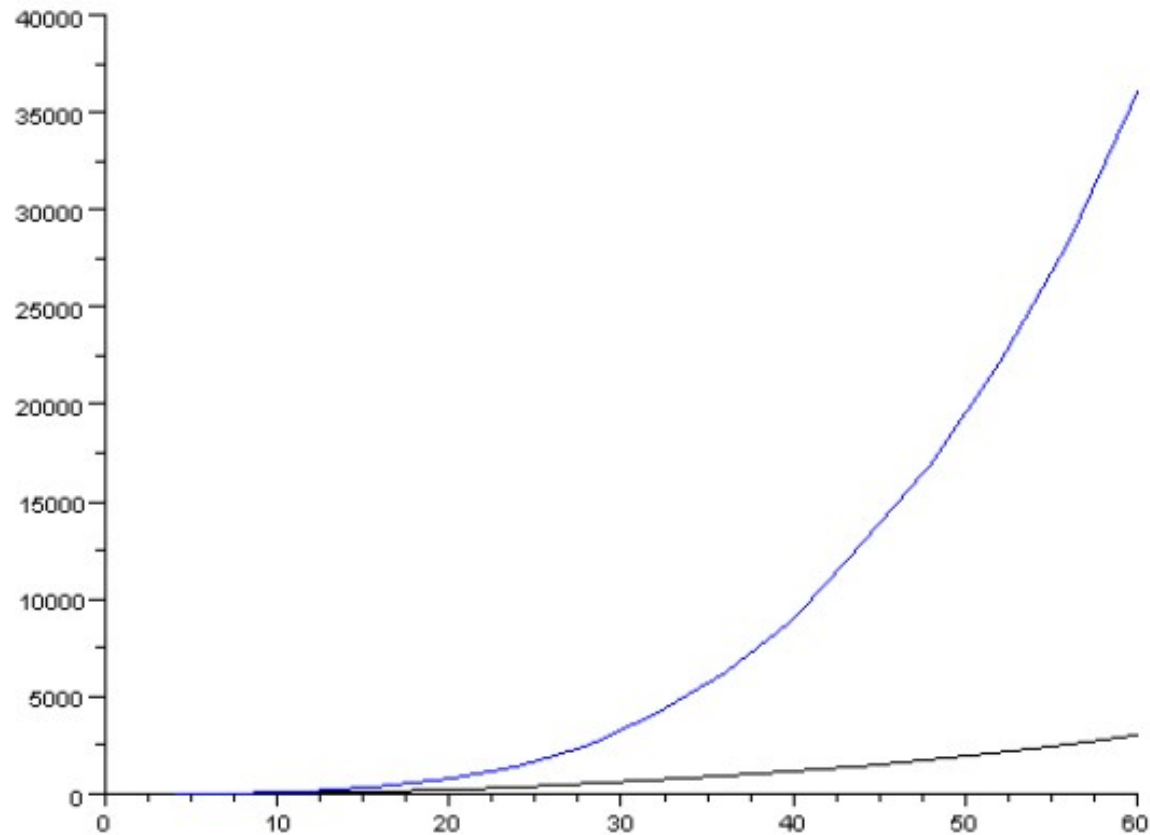
$$M_{ijt}^d = \min \left\{ M_{i,j-1,t}^d, M_{i,j,t-1}^d, (c_{i,t} - a_i) + m \right\}$$

$$\text{Avec } m = \min \left\{ A, \min \left\{ M_{i',j,t-\delta_{i',i}^{dd}}^d \mid i' < i, \delta_{i',i}^{dd} > t \right\}, \min \left\{ M_{i-1,j',t-\delta_{j',i}^{rd}}^r \mid j' \leq j, \delta_{j',i}^{rd} > t \right\} \right\}$$

$$M_{ijt}^r = \min \left\{ M_{i-1,j,t}^r, M_{i,j,t-1}^r, (c_{i,t} - a_i) + m \right\}$$

$$\text{Avec } m = \min \left\{ A, \min \left\{ M_{i',j-1,t-\delta_{i',j}^{dr}}^d \mid i' \leq i, \delta_{i',j}^{dr} > t \right\}, \min \left\{ M_{i,j',t-\delta_{j',j}^{rr}}^r \mid j' < j, \delta_{j',j}^{rr} > t \right\} \right\}$$

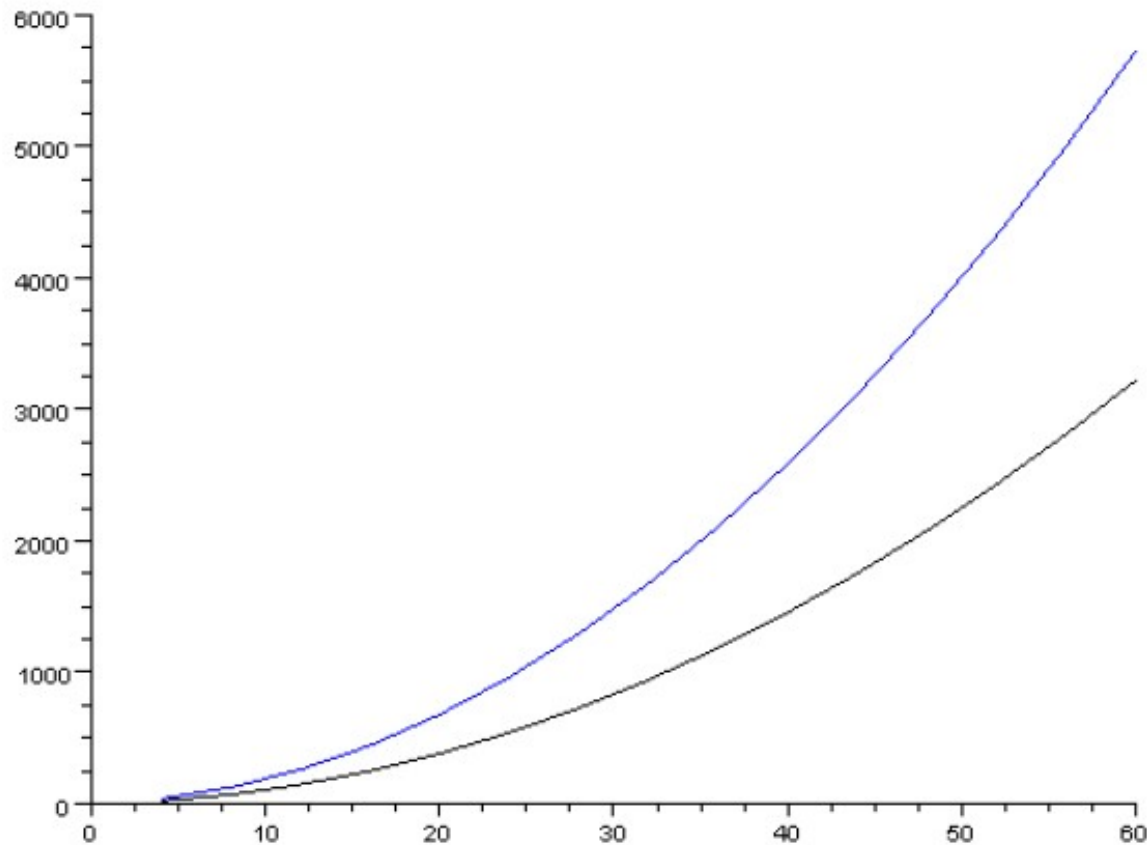
# Comparaison des algorithmes: Temps de calcul



— Algorithme à vitesses égales

— Algorithme général

# Comparaison des algorithmes: Espace mémoire



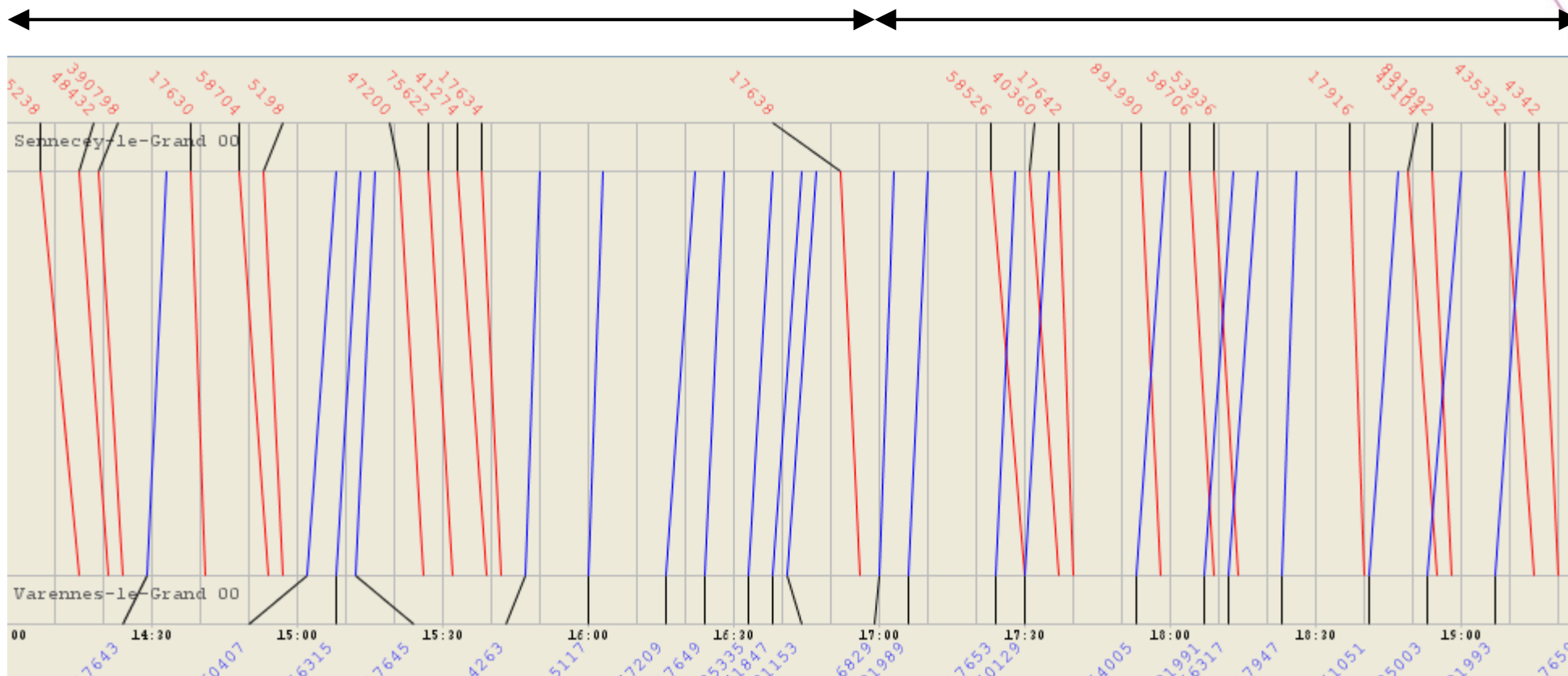
— Algorithme à vitesses égales

— Algorithme général

# Problèmes de jonctions

1 voie en IPCS

rétablissement 2 voies



# Implémentations et limites

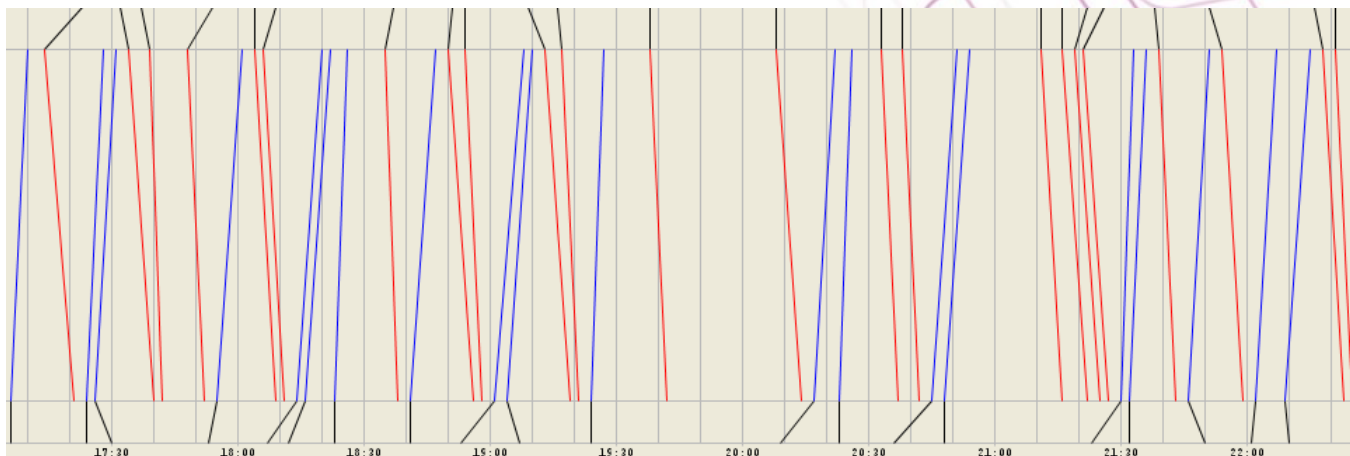


# Comparaison des modèles de vitesse

**Sennecey-Varenne de 14h à 23h:**

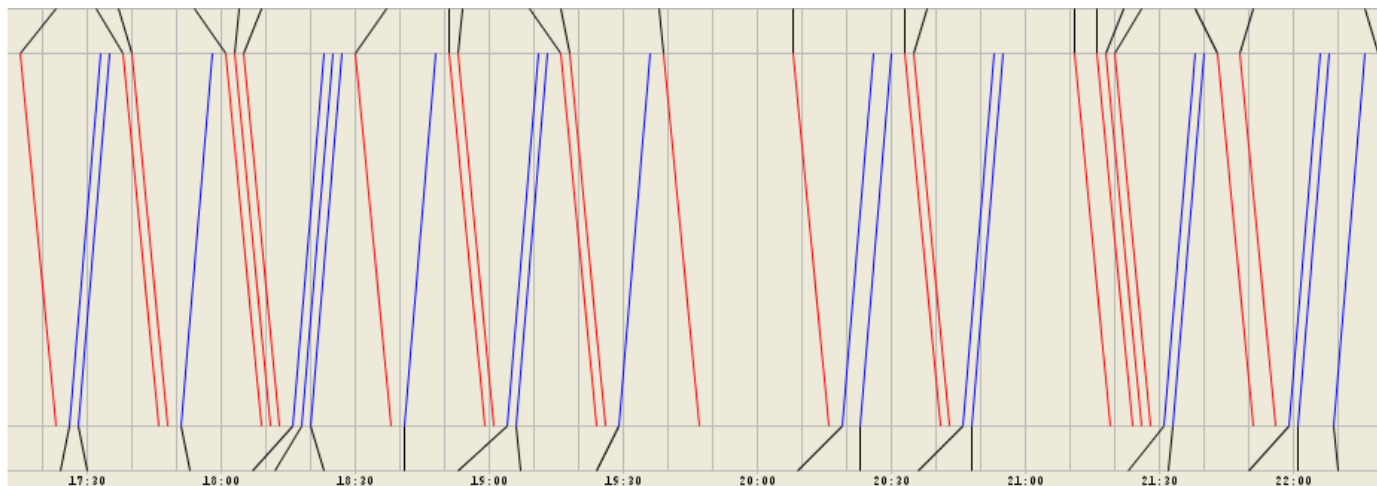
Algorithme général:

retard cumulé = 154 min



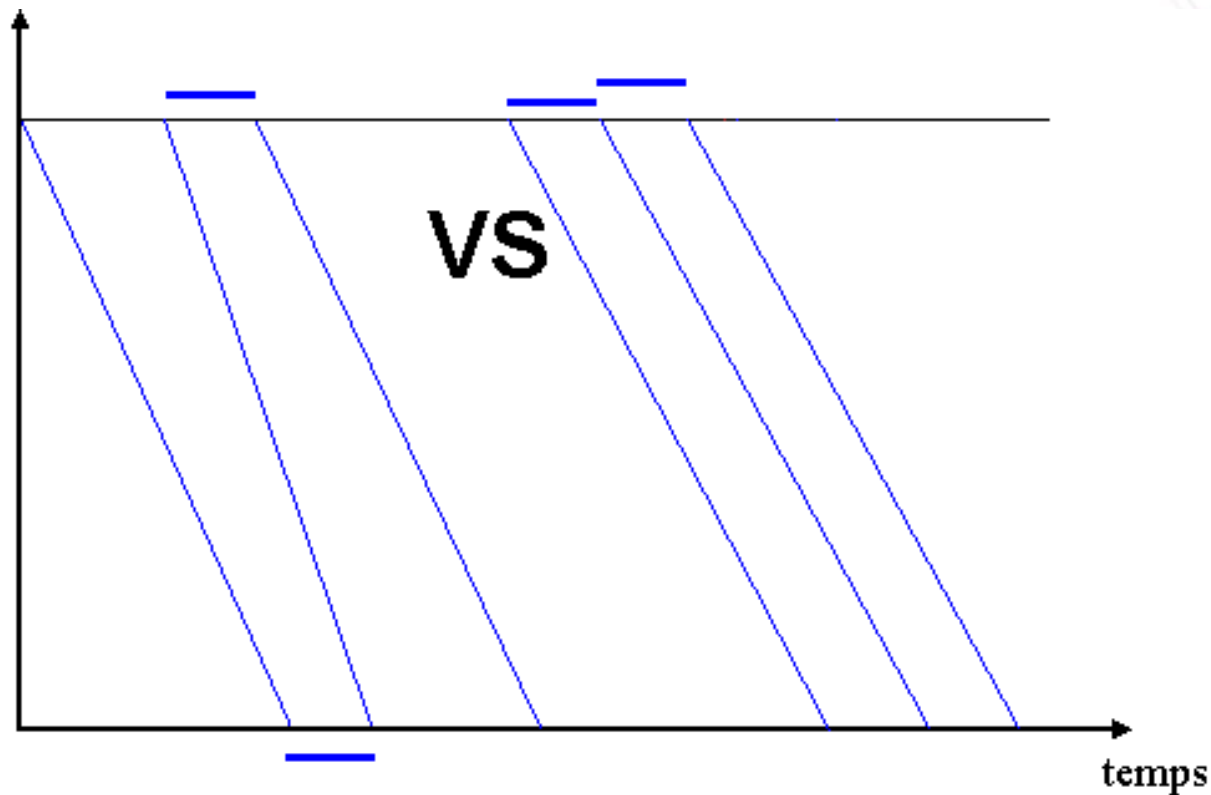
Algorithme de vitesses identiques:

retard cumulé = 237 min



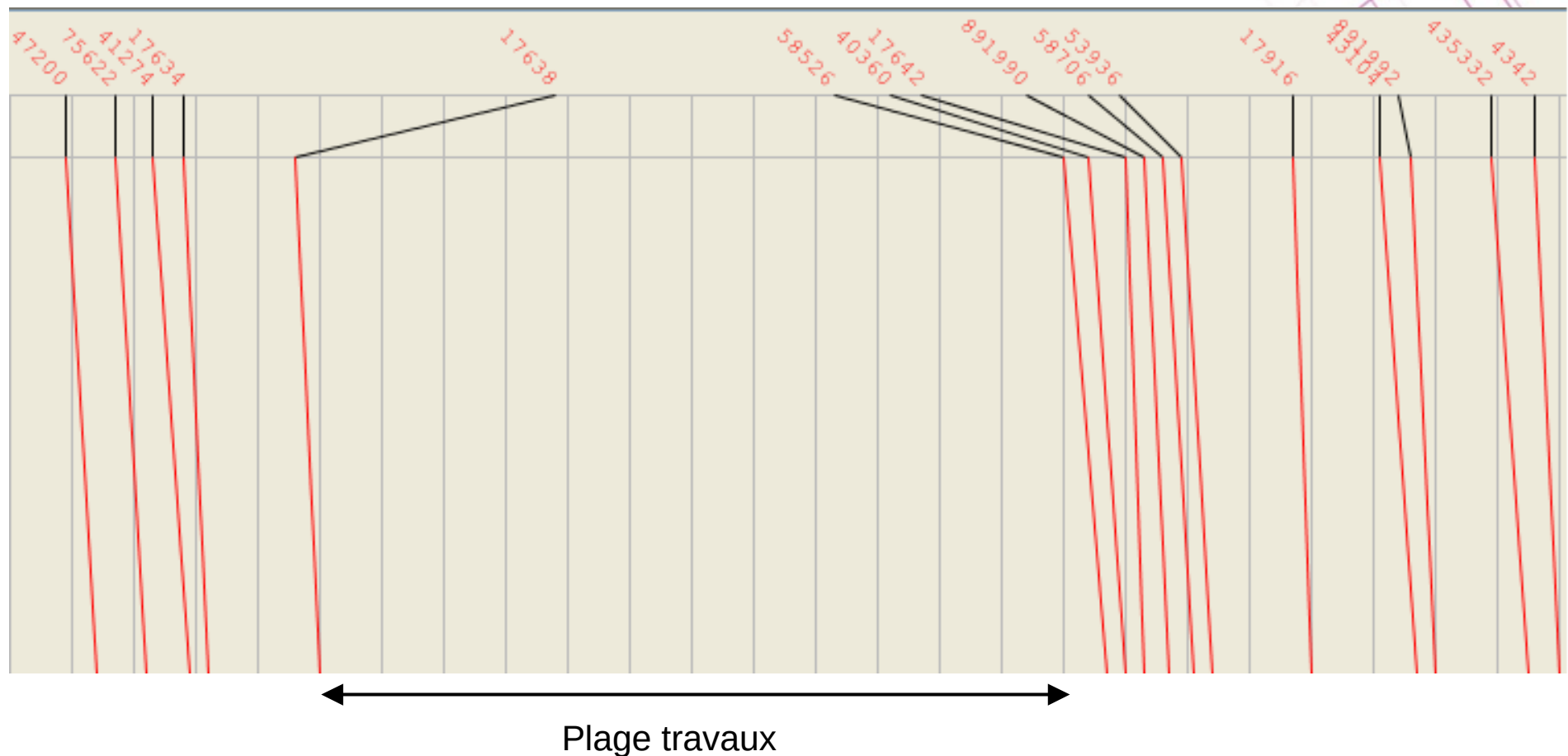


# Vitesse de parcours d'un tronçon



- Faire circuler les trains à leur vitesse maximale n'est pas toujours optimal

# Utilité socio-économique des solutions

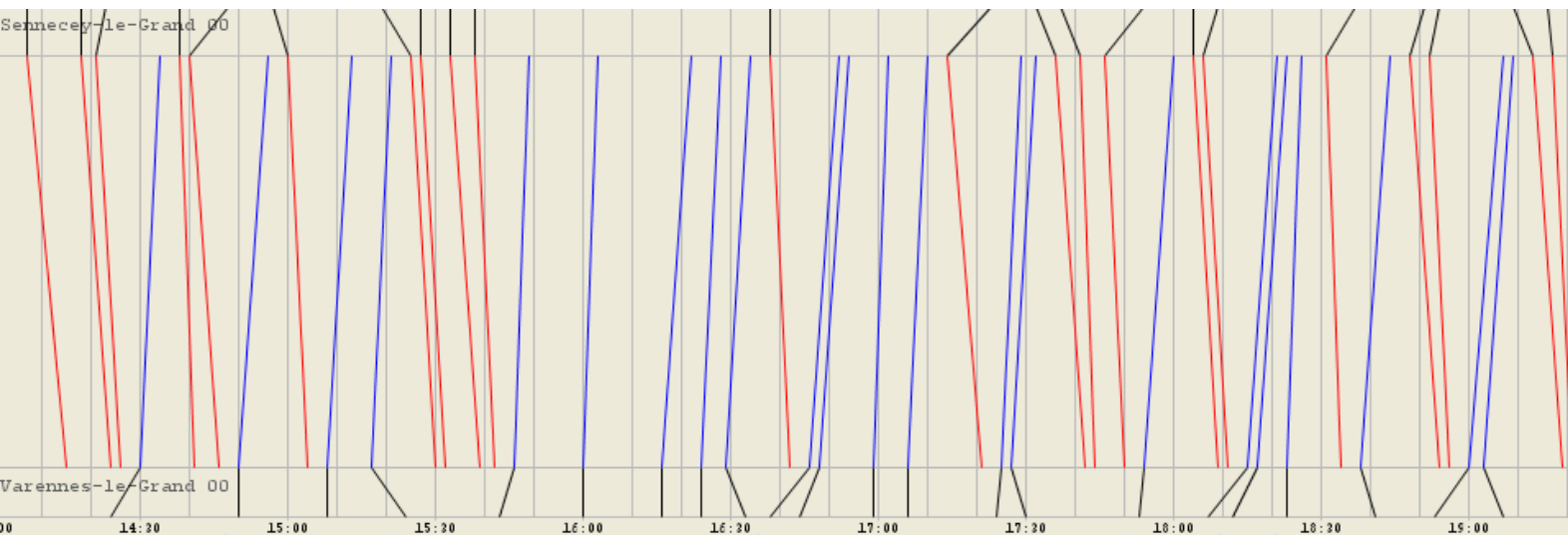
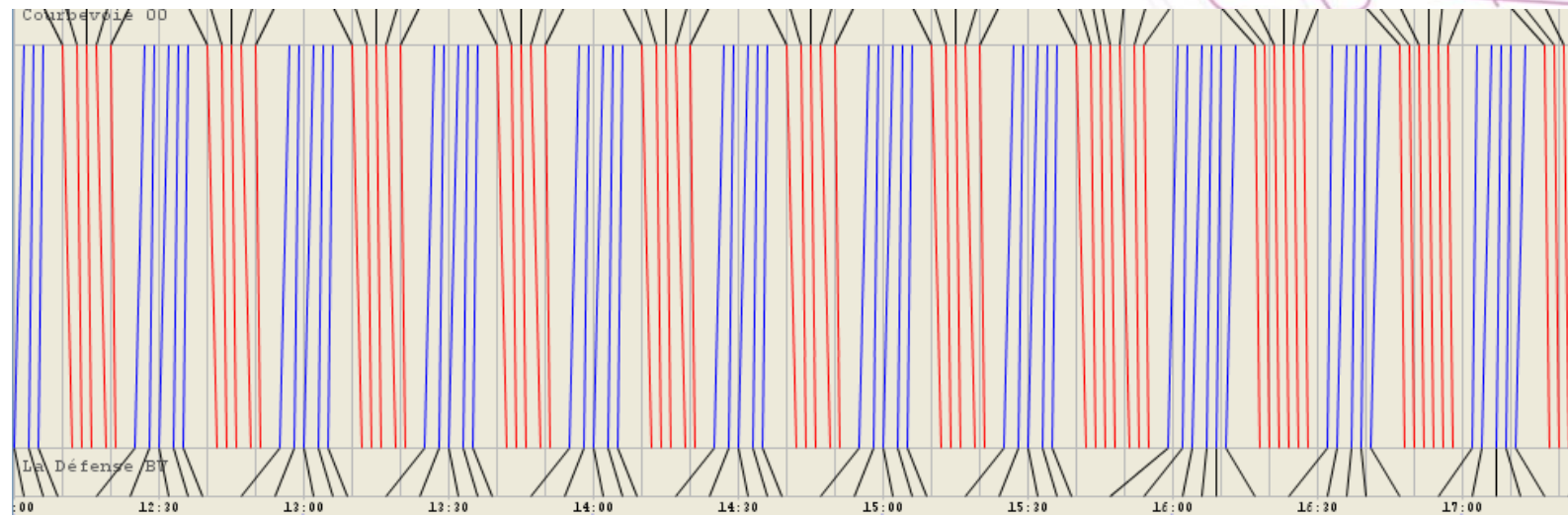


- La minimisation du retard global donne des solutions qui peuvent avoir une utilité sociale limitée

# Utilité socio-économique des solutions

-L'optimum en IPCS n'est pas socialement satisfaisant en cas de fort trafic:

La Défense – Courbevoie  
De 12h à 19h



Sennecey – Varenne  
De 14h à 21h

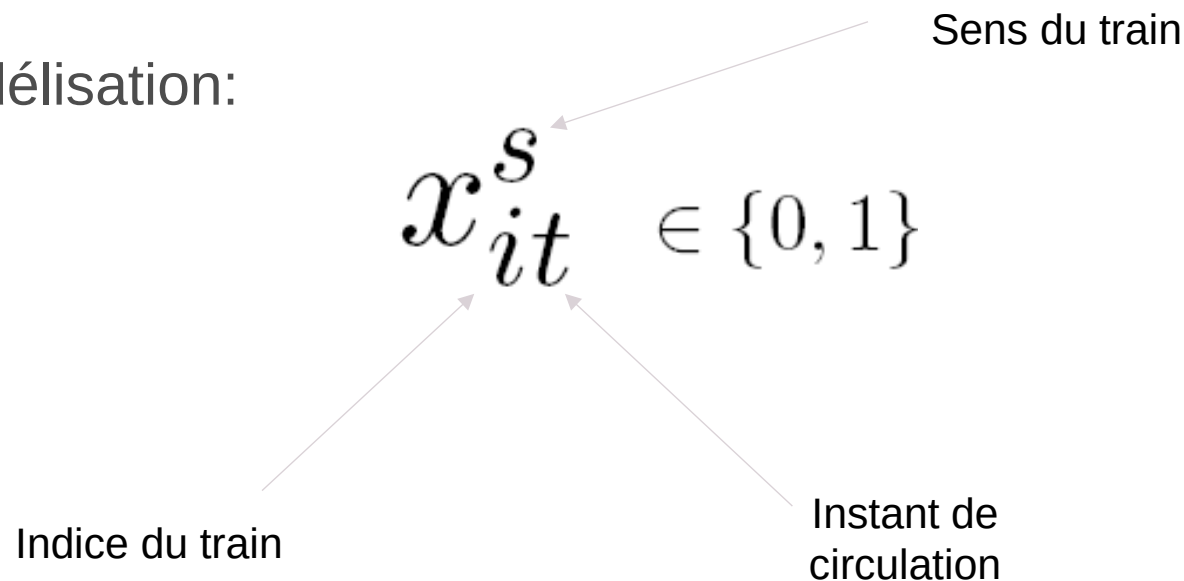
ION DE L'INNOVATION  
ET DE LA RECHERCHE

des  
idées  
d'avance  
SNCF

# Prolongements

# Modélisation PLNE

- Objectif: généraliser l'étude à une ligne ou à un réseau de gares quelconque.
- Limites de la programmation dynamique dans l'espace mémoire
- Modélisation:



# Exemple: Adaptation autour d'une plage d'IPCS

$$\text{Min} \sum_{s \in \{d,r\}} \sum_{i=1}^{N^s} \sum_{t=1}^T (c_{it}^s - a_i^s) x_{it}^s$$

Sous les contraintes :

$$\forall s \in \{d, r\}, \forall i \in [1, N], \forall t \in [1, T], x_{it}^s \in \{0, 1\}$$

$$\forall s \in \{d, r\}, \forall i \in [1, N^s], \sum_{t=1}^T x_{it}^s \leq 1$$

$$\forall s \in \{d, r\}, \forall (i, i') \in [1, N^s]^2, \forall t \in [1, T], x_{it}^s + \sum_{k=t}^{T \wedge t + \delta_{ii'}^{ss} - 1} x_{i'k}^s \leq 1$$

$$\forall i \in [1, N^{dir}], \forall j \in [1, N^{dir}], \forall t \in [init - \Delta_i^{dir} + 1, fin - 1], x_{it}^{dir} + \sum_{k=t}^{fin-1 \wedge t + \delta_{ij}^{dir dir} - 1} x_{jk}^{dir} \leq 1$$

$$\forall i \in [1, N^{dir}], \forall j \in [1, N^{dir}], \forall t \in [init - \Delta_i^{dir} + 1 - \delta_{ji}^{dir dir}, fin - 1], x_{jt}^{dir} + \sum_{k=t}^{fin-1 \wedge t + \delta_{ji}^{dir dir} - 1} x_{ik}^{dir} \leq 1$$

# Avantages de la modélisation PLNE

- Situations génériques plus facilement constructibles (moins de problèmes de jonctions)
- Potentiellement moins gourmand en espace mémoire en restreignant les horaires possibles de circulation
- Généralisation sur un réseau de gares envisageable



# Conclusion

# Conclusion

- Définition des problèmes, questions de modélisation
- Modèles de résolutions
- Implémentations, comparaisons d'algorithmes
- Analyse critique de résultats
- Fin du stage: implémentation de la PLNE pour reprise en septembre par un prestataire



**Des questions ?**

